

# Тензор динамической диэлектрической восприимчивости хаотизированного $f-d$ -магнетика

А. Б. Безносов, Е. С. Орел

Физико-технический институт низких температур им. Б. И. Веркина НАН Украины  
пр. Ленина, 47, г. Харьков, 61103, Украина  
E-mail: beznosov@ilt.kharkov.ua

Статья поступила в редакцию 11 декабря 2000 г., после переработки 16 января 2001 г.

Методом двухвременных запаздывающих функций Грина рассчитан магнитный вклад в тензор динамической диэлектрической восприимчивости  $\chi^{\alpha\beta}(\omega) = \chi_1^{\alpha\beta}(\omega) + i\chi_2^{\alpha\beta}(\omega)$  системы хаотизированных квазилокальных оптических диполей магнитного проводника. Полученный спектр  $\chi^{\alpha\beta}(\omega)$  состоит из когерентной  $\chi_{coh}^{\alpha\beta}$  и некогерентной  $\chi_{incoh}^{\alpha\beta}$  компонент, формируемых электронными возбуждениями с нулевым и произвольным квазимпульсом соответственно. Вдали от резонансных частот (где  $\chi$  представлена только дисперской частью) недиагональные компоненты  $\chi_2^{\alpha\neq\beta}(\omega)$  линейны в главном порядке по эффективному полю  $\Delta_M = \zeta/2 - \mu_B H_0$  ( $\zeta$  – константа спин-орбитального взаимодействия,  $\mu_B$  – магнетон Бора,  $H_0$  – магнитное поле), тогда как магнитный вклад в диагональные компоненты  $\chi_1^{\alpha\alpha}(\omega)$  квадратичен по  $\Delta_M$ .

Методом дво часових загаяніх функцій Гріна розраховано магнітний внесок в тензор динамічної діелектричної сприйнятливості  $\chi^{\alpha\beta}(\omega) = \chi_1^{\alpha\beta}(\omega) + i\chi_2^{\alpha\beta}(\omega)$  системи хаотизованих квазілокальних оптических диполів магнітного провідника. Отриманий спектр  $\chi^{\alpha\beta}(\omega)$  складається з когерентної  $\chi_{coh}^{\alpha\beta}$  та некогерентної  $\chi_{incoh}^{\alpha\beta}$  компонент, що формуються електронними збудженнями з нульовим і довільним квазімпульсом відповідно. Віддалік від резонансних частот (де  $\chi$  представлено тільки дисперсною частиною) недіагональні компоненти  $\chi_2^{\alpha\neq\beta}(\omega)$  є лінійними в головному порядку по ефективному полю  $\Delta_M = \zeta/2 - \mu_B H_0$  ( $\zeta$  – константа спін-орбітальної взаємодії,  $\mu_B$  – магнетон Бора,  $H_0$  – магнітне поле), тимчасом як магнітний внесок до діагональних компонентів  $\chi_1^{\alpha\alpha}(\omega)$  є квадратичним по  $\Delta_M$ .

PACS: 78.20.Ls, 75.10.Lp, 71.23.An

## Введение

Повышенный интерес к оптическим свойствам магнитоконцентрированных соединений носит в последние 20 лет устойчивый характер и в значительной степени вызван потребностями производства устройств записи, считывания и хранения информации в современной компьютерной промышленности. В то же время оптические методы являются одним из основных средств прямого исследования энергетического спектра и характера электронных состояний конденсированного вещества, определяющих, в частности, трансформацию его свойств при температурных изменениях. Последнее определяет интерес к оптике систем, претерпевающих магнитные фазовые превращения, в физике конденсированного состояния.

Характерным признаком атомного строения магнитоупорядочивающейся системы в большинстве случаев является присутствие в ее химичес-

кой формуле  $d$ - или  $f$ -элементов. Электроны магнитоактивных  $d$ - и  $f$ -оболочек благодаря наличию так называемого центробежного барьера [1] оказываются квазилокальными, т.е. их движение по кристаллу имеет характер туннелирования (межузельных перескоков) и соответствующие энергетические зоны оказываются довольно узкими. Поэтому в тех случаях, когда характерное время внешнего воздействия на систему (например, период взаимодействующей с ней электромагнитной волны) оказывается меньше времени межузельных перескоков, такие электроны, с одной стороны, ведут себя как локальные, а с другой, благодаря когерентности межузельных перескоков, зависящей от степени трансляционного порядка в системе, оказываются чувствительными к дальнему порядку, в том числе магнитному [2].

Сильное спин-орбитальное взаимодействие приводит к коррелированному поведению спино-

вых и орбитальных моментов  $f$ - и  $d$ -электронов при движении последних по кристаллу (соответствующая концепция « $j$ -полярона» сформулирована в [2]), что существенно отражается на зависимости оптических свойств вещества от степени магнитного порядка. Такая картина содержит предпосылки для понимания механизмов взаимодействия света с хаотизированными системами квазилокальных оптических диполей, в которых хаотизация имеет как температурную [2,3], так и структурную [4] природу. Структурный (в том числе магнитоструктурный) хаос реализуется в неупорядоченных сплавах, металлических и спиновых стеклах и т. п., о температурной же хаотизации уместно говорить в тех случаях, когда характерный период температурных флюктуаций квазилокальных оптических диполей (в [2,3] рассматривались флюктуации направлений их осей, определяемых ориентацией полных угловых моментов редкоземельных ионов) больше периода электромагнитной волны. Оба аспекта хаотизации актуальны для систем, упомянутых в предыдущем параграфе, в оптическом диапазоне от инфракрасной области до вакуумного ультрафиолета.

Движущийся в магнитной среде электрон испытывает действие силы Лоренца [5], что приводит к эффекту Холла на низких частотах и к магнитооптическим эффектам Керра и Фарадея на оптических частотах [5–7]. Теория магнитооптических эффектов в упорядоченных металлах имеет уже длинную историю (кроме [5–7], отметим [8–11] как некоторые из публикаций, характеризующих развитие магнитооптики систем, родственных рассматриваемым в настоящей работе), чего нельзя сказать о магнитооптике хаотизированных систем. В то же время последний аспект является актуальным, поскольку значительное число современных материалов для микроэлектроники представляют собой хаотизированные системы [12–14].

Целью настоящей работы является построение теории магнитооптических эффектов в системе хаотизированных квазилокальных оптических диполей. В отличие от [5–11], где использованы модели либо свободных, либо локализованных электронов, в данном случае рассмотрена модель квазилокальных электронов. За основу берется

(как и в [2–4,15,16]) картина узкозонных магнитных проводников, представленная Нагаевым [6]. В данном случае макроскопический магнитооптический эффект возникает как результат усреднения в системе квазилокальных внутриатомных аналогов эффекта Холла\* для электронов, движущихся под действием электрического поля световой волны в эффективном магнитном поле, порождаемом спин-орбитальным взаимодействием, с добавкой поля магнитной индукции вещества.

### Модель $d-f$ -металла

Рассматриваемая модель магнитного проводника в общих чертах соответствует схематическому изображению электронного энергетического спектра (ЭЭС) металлического гадолиния (см. [2,3]). Она содержит узкие частично заполненные электронные зоны ( $i$ ), генетически связанные с атомными  $d$ -орбиталями, и отделенные от них широкими энергетическими щелями свободные зоны ( $f$ )\*\*, связанные с иными атомными состояниями (рис. 1). Спин-орбитальное взаимодействие снимает вырождение по магнитному квантовому числу  $\mu$  в зонах  $i$  и  $f$ , а сильное внутриатомное обменное взаимодействие с локализованными спинами (в редкоземельных металлах – со спинами  $4f$ -оболочек) расщепляет спиновые подзоны так, что одна из них, принадлежащая зоне  $i$  ( $i, k, -\mu, -1/2$ ), лежит целиком выше уровня Ферми (для данного подхода это условие не принципиально, но упрощает расчет). Вырождение по магнитному и спиновому квантовым числам снимается также действием внешнего магнитного поля.

Для простоты будем рассматривать в нижней зоне  $i$  только одну из таких (т.е. расщепленных и по спину, и по  $\mu$ ) подзон (с индексами  $\mu_i, 1/2$  на рис. 1), а в верхней зоне  $f$  – только три (с индексами  $\mu_f = \mu_i - 1, \mu_f = \mu_i$  и  $\mu_f = \mu_i + 1$  на рис. 1) с направлением спина по намагниченности (вдоль координатной оси  $z$  – символ  $\uparrow$ ).

### Квазилокальные оптические диполи

Взаимодействие света с квазилокальным оптическим диполем на узле  $\lambda$  кристаллической решетки в представлении чисел заполнения описывается гамильтонианом

\* Наиболее прозрачна аналогия между эффектами Холла и Фарадея [6], связанными с поляризационной (или «дисперсной», в отличие от «поглощающей») составляющей «магнитного» вклада в недиагональную диэлектрическую восприимчивость.

\*\* Символы  $i$  и  $4f$ , используемые в статье соответственно для обозначения мнимой единицы и магнитоактивной оболочки редкоземельных ионов, легко различимы по контексту с индексами электронных состояний  $i$  (initial) и  $f$  (final).

$$\mathcal{H}_{\lambda \text{int}} = \int d\Xi \Psi_{\lambda}^{\dagger}(\mathbf{x}, \xi) \mathcal{H}_{\text{int}} \Psi_{\lambda}(\mathbf{x}, \xi), \quad (1)$$

где

$$\Psi_{\lambda}(\mathbf{x}, \xi) = \sum_{\tau, \mu, \sigma} \phi_{\lambda, \tau, \mu}(\mathbf{x}) \chi_{\lambda, \tau, \mu, \sigma}(\xi) c_{\lambda, \tau, \mu, \sigma}$$

— электронный полевой оператор;  $\phi_{\lambda, \tau, \mu}(\mathbf{x})$  — атомная электронная волновая функция, определенная в локальной системе координат на узле с вектором трансляции  $\lambda$  (см., например, [2–4]);  $\chi_{\lambda, \tau, \mu, \sigma}(\xi)$  — спиновая функция;  $c_{\lambda, \tau, \mu, \sigma}^{\dagger}$  ( $c_{\lambda, \tau, \mu, \sigma}$ ) — фермиевские операторы рождения (уничтожения) состояния  $|\lambda, \tau, \mu, \sigma\rangle$ ;  $\tau = i, f$  — индекс орбитального состояния (для определенности будем полагать  $i = l, f = l + 1$ , где  $l$  —

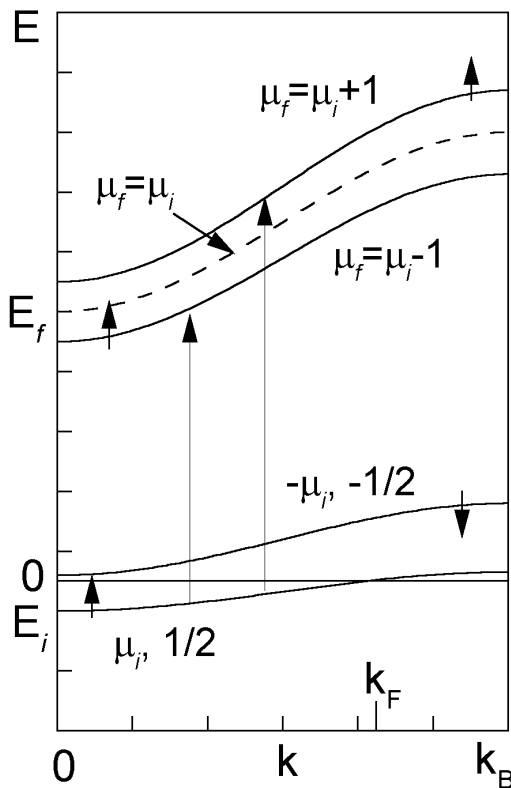


Рис. 1. Схематический вид электронного энергетического спектра  $E_{f(i)}(k)$  начальных  $i$  и конечных  $f$  состояний рассматриваемого магнитооптического электронного перехода  $i \rightarrow f$ :  $E_f(0) - E_i(0) = E_f \gg W_{f(i)}$ ,  $W$  — ширина электронной зоны;  $k_F$  и  $k_B$  — фермиевский и бриллюэновский волновые векторы соответственно;  $\mu$  — магнитное квантовое число; стрелки означают проекцию электронного спина на магнитный момент системы; нулевая энергия соответствует уровню Ферми. Изображены только те зоны  $f$ , переходы в которые из зоны  $i$  дают вклад в недиагональную восприимчивость  $\chi^{xy}(e)$ .

\* В рассматриваемой модели  $m_e$  — это масса свободного электрона, поскольку речь идет, по сути, о внутриатомных переходах  $i \rightarrow f$ .

орбитальное квантовое число);  $\mu$  и  $\sigma$  — магнитное и спиновое квантовые числа соответственно; интегрирование по  $d\Xi$  распространяется на пространственные переменные  $\mathbf{x}$ , а также включает в себя суммирование по спиновой переменной  $\xi$ ;

$$\mathcal{H}_{\text{int}} = -\frac{e}{m_e c} \mathbf{A} \mathbf{p}; \quad \mathbf{A} = A_0 e^{i(\mathbf{Q}\mathbf{r} - \omega t)}$$

— векторный потенциал поля электромагнитной волны ( $\omega$  — частота волны,  $\tilde{\omega} = \omega + i\gamma$ ,  $\gamma \rightarrow 0$  обеспечивает адиабатичность включения взаимодействия),  $c$  и  $\mathbf{Q}$  — скорость и волновой вектор световой волны соответственно,  $\mathbf{p}$ ,  $e$  и  $m_e$  — оператор импульса, заряд и масса электрона\*.

Матричные элементы в (1) удобно выразить через локальные дипольные моменты электронного перехода  $i \rightarrow f$  на узле  $\lambda$ :

$$\begin{aligned} \langle \lambda, f, \mu', \sigma | \mathcal{H}_{\text{int}} | \lambda, i, \mu, \sigma \rangle &= \\ = \langle \lambda, f, \mu', \sigma | -\frac{e}{m_e c} \mathbf{A} \mathbf{p} | \lambda, i, \mu, \sigma \rangle &= \\ = -\frac{\omega_{fi}}{\omega} \mathbf{E}_0 \mathbf{D}_{\lambda fi}^{\mu' \mu} e^{i(\mathbf{Q}\lambda - \tilde{\omega}t)}, \end{aligned}$$

где  $\mathbf{E}_0$  — амплитуда напряженности электрического поля световой волны;  $D_{\lambda fi}^{\alpha \mu} = \langle \lambda, f, \mu', \sigma | e r^\alpha | \lambda, i, \mu, \sigma \rangle$  —  $\alpha$ -компоненты матричного элемента вектора электродипольного момента электронного перехода  $i \rightarrow f$  ( $r^\alpha$  —  $\alpha$ -компоненты оператора координаты электрона);  $\omega_{fi}$  — частота перехода  $i \rightarrow f$ .

Фактически природа магнитооптических явлений заключается в различии спектров правой и левой циркулярных компонент индуцируемой в веществе электрической поляризации. Поэтому имеет смысл рассматривать далее именно циркулярные компоненты оператора электродипольного момента  $i \rightarrow f$  перехода:

$$\begin{aligned} \hat{D}_{\lambda \mu}^{\pm} = \sum_{\sigma} (D_{\lambda fi \mu}^{\pm} c_{\lambda, f, \mu \pm 1, \sigma}^{\dagger} c_{\lambda, i, \mu, \sigma} + \\ + D_{\lambda fi \mu}^{\pm} c_{\lambda, i, \mu, \sigma}^{\dagger} c_{\lambda, f, \mu \mp 1, \sigma}). \end{aligned} \quad (2)$$

Здесь

$$D_{\lambda fi \mu}^{\pm} = \langle \lambda, f, \mu \pm 1, \sigma | e r^{\pm} | \lambda, i, \mu, \sigma \rangle,$$

$$D_{\lambda if \mu}^{\pm} = \langle \lambda, i, \mu, \sigma | e r^{\pm} | \lambda, f, \mu \mp 1, \sigma \rangle ,$$

$$r^{\pm} = \frac{x \pm iy}{\sqrt{2}} ,$$

индексы  $i$  и  $f$  в обозначениях оператора  $\hat{D}_{\lambda \mu}^{\pm}$  опущены.

В настоящей модели магнитооптические эффекты определяются только этими матричными элементами.

Для атомных электронных волновых функций, которые, как отмечалось выше, для определенности и простоты будем рассматривать в качестве базисных узельных состояний в кристалле, имеют место следующие соотношения [17]:

$$\begin{aligned} \langle l+1, \mu \pm 1 | r^{\pm}/r | l, \mu \rangle &= \pm \left[ \frac{(l+2 \pm \mu)(l+1 \pm \mu)}{(2l+3)(2l+1)} \right]^{1/2}, \\ \langle l-1, \mu \pm 1 | r^{\pm}/r | l, \mu \rangle &= \mp \left[ \frac{(l \mp \mu)(l-1 \mp \mu)}{(2l+1)(2l-1)} \right]^{1/2}, \end{aligned} \quad (3)$$

$$\begin{aligned} \langle l, \mu | r^-/r | l+1, \mu+1 \rangle \langle l+1, \mu+1 | r^+/r | l, \mu \rangle &= \\ &= \frac{(l+2+\mu)(l+1+\mu)}{(2l+3)(2l+1)}, \\ \langle l, \mu | r^+/r | l+1, \mu-1 \rangle \langle l+1, \mu-1 | r^-/r | l, \mu \rangle &= \\ &= \frac{(l+2-\mu)(l+1-\mu)}{(2l+3)(2l+1)}. \end{aligned}$$

Из (3) для матричных элементов в (2) непосредственно следуют связи  $D_{if}^{\mp} D_{fi}^{\pm} = (D_{fi}^{\pm})^* D_{fi}^{\pm} = |D_{fi}^{\pm}|^2$  (знак «\*» означает комплексное сопряжение) и соотношения

$$|D_{fi\mu}^{\pm}|^2 > |D_{fi\mu}^{-}|^2, \quad \mu > 0,$$

$$|D_{fi\mu}^{\pm}|^2 < |D_{fi\mu}^{-}|^2, \quad \mu < 0,$$

$$|D_{fi\mu}^{\pm}|^2 = |D_{fi\mu}^{-}|^2, \quad \mu = 0.$$

В хаотизированных системах представляют интерес средние по кристаллу величины

$$\langle D_{fi\mu}^{\pm} \rangle = N^{-1} \sum_{\lambda} \langle \lambda, f, \mu \pm 1, \sigma | e r^{\pm} | \lambda, i, \mu, \sigma \rangle$$

и среднеквадратичные флуктуации

$$d_{fi\mu}^{\pm} = \left[ N^{-1} \sum_{\lambda} (D_{\lambda fi\mu}^{\pm} - \langle D_{fi\mu}^{\pm} \rangle)^2 \right]^{1/2}.$$

Для простоты далее будем пренебрегать различием между  $\langle D_{fi\mu}^+ \rangle$  и  $\langle D_{fi\mu}^- \rangle$  и, соответственно, между  $d_{fi\mu}^+$  и  $d_{fi\mu}^-$  (это строго соответствует случаю  $\mu = 0$  и не отразится на основных результатах работы в случае произвольных  $\mu$ ). Кроме того, учитывая отмеченный выше избранный фиксированный характер  $\mu$  и  $\sigma$ , будем опускать их в индексах конечных выражений для диэлектрической восприимчивости. В таком случае обозначения для средних по кристаллу электродипольных моментов и среднеквадратичных флуктуаций упростятся до  $D$  и  $d$  соответственно.

### Роль хаотизации системы

Хаотическая система индуцированных электрическим полем световой волны квазилокальных электрических диполей может иметь как структурное (в том числе — магнитоструктурное) происхождение (неупорядоченные сплавы, спиновые стекла и т.п.), так и быть следствием тепловых флуктуаций локальных характеристик системы (как отмечалось выше, это могут быть тепловые флуктуации локальных осей квантования, определяемых направлениями магнитных моментов  $4f$ -оболочек ионов редкоземельных металлов [2,3]).

Рассмотрим для определенности спиновое стекло в металле с локализованными магнитными моментами  $4f$ -оболочек. Ниже температуры стеклования тепловое среднее  $z$ -проекции спина отлично от нуля для каждого узла системы, содержащего  $4f$ -спин, и в локальных системах координат все эти средние совпадают. Среднее по кристаллу значение локального магнитного момента равно нулю, в то время как его средний квадрат отличен от нуля [18]. Очевидно, что в каждом «магнитном» узле магнитооптический эффект возникает, но для кристалла в целом те эффекты, которые определяются его намагниченностью, будут отсутствовать.

Таким образом, пространственная хаотизация дипольного момента (2) существенно отражается на оптических свойствах системы. В то же время в электронном гамильтониане кристалла, записанном в приближении сильной связи, хаотизация локальных осей квантования «магнитных» узлов приведет лишь к некоторой хаотизации интеграла междузельных электронных перескоков, существенно не меняя его величины и, соответственно, свойств металла. Поэтому, если система хаотизирована, но ее металлический характер сохраняет-

ся, хаотическая компонента  $\delta\mathcal{H}$  полного гамильтониана  $\mathcal{H} = \mathcal{H}_0 + \delta\mathcal{H}$  может рассматриваться как малая добавка к гамильтониану  $\mathcal{H}_0$  трансляционно-инвариантной системы. Применительно к задаче настоящей работы такое влияние хаотизации на ЭЭС может быть сведено к замене вещественной энергии кристалла на комплексную [19, 20], что, как можно ожидать, качественно не повлияет на спектр достаточно высокоэнергетических межзонных электронных переходов.

Электрический дипольный момент, индуцируемый в кристалле полем электромагнитной волны, может быть вычислен путем усреднения соответствующих собственных значений с помощью статистического оператора, определяемого суммарным гамильтонианом  $\tilde{\mathcal{H}} = \mathcal{H}_0 + \delta\mathcal{H} + \mathcal{H}'_{int}$ . Очевидно, что линейный отклик [21–23] системы, вычисленный для *регулярной части* гамильтониана взаимодействия  $\mathcal{H}'_{int} = \sum_{\lambda} \mathcal{H}_{\lambda int}$ , будет определяться, главным образом, гамильтонианом  $\mathcal{H}_0$ .

Для рассмотрения отклика системы на *хаотическую часть* возмущения  $\mathcal{H}'_{int}$  проведем следующее рассуждение. Как было отмечено выше, нарушение трансляционной симметрии системы может быть учтено заменой вещественных энергий  $\epsilon(\mathbf{k})$  блоховских  $\mathbf{k}$ -состояний комплексными величинами  $\epsilon(\mathbf{k}) + i\hbar/\tau(\mathbf{k})$ . Это означает, что  $\mathbf{k}$ -состояния затухают с характерным временем  $\tau(\mathbf{k}) \rightarrow \infty$  при  $\delta\mathcal{H} \rightarrow 0$ . Иными словами,  $\mathbf{k}$ -представление работает хорошо (т.е. неопределенность квазимпульса мала и невертикальные электронные переходы под действием внешнего поля с волновым вектором  $\mathbf{Q} = 0$  несущественны), если узельные хаотические добавки в энергию не слишком велики: при достаточно высокой частоте  $\omega_{fi}$  электронного перехода, такой что  $\pi/\omega_{fi} \ll \tau(\mathbf{k})$ , отклик системы на внешнее воздействие сформируется быстрее, чем заметно изменятся амплитуды блоховских состояний. В то же время, если хаотические узельные добавки  $d_{\lambda}$  к дипольному моменту в гамильтониане взаимодействия  $\mathcal{H}'_{int}$  статистически независимы (что является во многих случаях хорошим приближением), так что все  $\mathbf{k}$ -гармоники в фурье-разложении  $\mathcal{H}'_{int}$  равновероятны, сразу получаем электронные возбуждения с любым квазимпульсом, независимо от величины дисперсии  $d^2$  дипольного момента.

Таким образом, влияние хаотизации  $\mathcal{H}'_{int}$  и  $\mathcal{H}$  на спектры оптических возбуждений различно как в количественном, так и в качественном отношении. Основное влияние на спектры возбуждений вещества оказывает только хаотизация гамильтониана взаимодействия  $\mathcal{H}'_{int}$ , что и будем

рассматривать ниже, а в качестве собственных значений гамильтониана системы  $\mathcal{H}$  будем использовать энергию совершенного кристалла. При этом, поскольку оператор  $\mathcal{H}'_{int}$  (как и  $\mathcal{H}$ ) должен быть построен на регулярных электронных состояниях, все эффекты хаотизации отразим в значениях  $c$ -чисел, т.е. соответствующими коэффициентами при матричных элементах в выражении (2).

### Гамильтониан

Учитывая сказанное выше, рассмотрим следующий гамильтониан  $\mathcal{H}$  исследуемой системы в представлении чисел заполнения:

$$\begin{aligned} \mathcal{H} = & \sum_{\lambda, \mu, \sigma} U_{\tau, \mu, \sigma} c_{\lambda, \tau, \mu, \sigma}^+ c_{\lambda, \tau, \mu, \sigma} + \\ & + \sum_{\lambda, \eta} T_{\tau, \sigma} c_{\lambda+\eta, \tau, \mu, \sigma}^+ c_{\lambda, \tau, \mu, \sigma}, \end{aligned} \quad (4)$$

$$U_{\tau, \mu, \sigma} = E_{\tau, \sigma} - \mu_B H_0 (\mu + 2\sigma)_{\tau} + \zeta_{\tau} \mu \sigma,$$

$$\tau = i, f, \quad \zeta_f = \zeta > 0.$$

Здесь  $T_{\tau, \sigma}$  — интеграл перескока между узлами-ближайшими соседями ( $\lambda, \lambda + \eta$ );  $E_i$  и  $E_f$  — энергии заполненного  $i$  и свободного  $f$  затравочных локальных состояний (нулевое приближение по интегралу перескока);  $\zeta_{\tau}$  — константа спин-орбитального взаимодействия;  $H_0$  — внешнее постоянное магнитное поле;  $\mu_B$  — магнетон Бора.

Предполагается, что параметры гамильтониана удовлетворяют неравенствам  $T \ll E_{fi}$  и  $\zeta \ll E_{fi}$ ,  $\mu_B H_0 \ll E_{fi}$ ;  $E_{fi} = E_f - E_i$  — энергия электронного перехода  $i \rightarrow f$  между центрами зон заполненных  $i$  и свободных  $f$  состояний (рис. 1).

Основные характеристики ЭЭС проводящих магнетиков определяются потенциалами взаимодействия электронов проводимости с ионами, межузельными интегралами электронных перескоков и собственными взаимодействиями в системе электронов проводимости. Из последних в гамильтониане (4) включена в явном виде только диагональная часть спин-орбитального взаимодействия как имеющая принципиальное значение для магнитооптических явлений. Следует отметить, что одноузельное обменное взаимодействие электронов проводимости с локальными магнитными моментами, как и внутренние обменные взаимодействия в их среде, приводят к появлению в

системе низкочастотных коллективных возбуждений [16,24], что должно, вообще говоря, отразиться на магнитооптических спектрах. Эти тонкие эффекты, однако, не влияют на основные выводы настоящей работы, поскольку мы рассматриваем только высокочастотные одноэлектронные возбуждения, что позволяет не включать явно обменные слагаемые в гамильтониан системы (диагональная часть одноузельного обменного взаимодействия между локальными и квазилокальными электронами включена в  $E_{\tau,\sigma}$ ).

Преобразование Фурье

$$c_{\lambda,\tau,\mu,\sigma}^+ = \frac{1}{\sqrt{N}} \sum_{\mathbf{k}} c_{\mathbf{k},\tau,\mu,\sigma}^+ e^{i\mathbf{k}\lambda},$$

$$c_{\lambda,\tau,\mu,\sigma} = \frac{1}{\sqrt{N}} \sum_{\mathbf{k}} c_{\mathbf{k},\tau,\mu,\sigma} e^{-i\mathbf{k}\lambda}$$

диагонализует квадратичную форму (4), приводя ее к виду

$$\mathcal{H} = \sum_{\mathbf{k},\tau,\mu,\sigma} E_{\tau,\mu,\sigma}(\mathbf{k}) n_{\mathbf{k},\tau,\mu,\sigma},$$

где

$$n_{\mathbf{k},\tau,\mu,\sigma} = c_{\mathbf{k},\tau,\mu,\sigma}^+ c_{\mathbf{k},\tau,\mu,\sigma}$$

— оператор чисел заполнения состояний  $|\mathbf{k},\tau,\mu,\sigma\rangle$ ;

$$E_{f,\mu\pm 1,\sigma}(\mathbf{k}) = E_{f,\sigma} + T_{f,\sigma}(\mathbf{k}) + \zeta \mu \sigma - \mu_B H_0(\mu + 2\sigma) \pm \Delta_M$$

и

$$E_{i,\mu,\sigma}(\mathbf{k}) = E_{i,\sigma} + T_{i,\sigma}(\mathbf{k}) + \zeta_i \mu \sigma - \mu_B H_0(\mu + 2\sigma)$$

— энергии в верхней и нижней зонах соответственно;

$$T_{\tau,\sigma}(\mathbf{k}) = T_{\tau,\sigma} \sum_{\mathbf{h}} e^{i\mathbf{kh}}$$

— кинетическая энергия квазилокальных электронов;

$$\Delta_M = \zeta \sigma - \mu_B H_0$$

— «эффективное» магнитное поле в энергетических единицах.

## Динамическая диэлектрическая восприимчивость

Электрическая поляризация неоднородной стационарной среды (для простоты рассматриваем кристаллическую решетку, содержащую  $N$  узлов, в каждом из которых может быть индуцирован электрический диполь случайной или определенным образом зависящей от  $\lambda$  величины) в поле электромагнитной волны с частотой  $\omega$  и волновым вектором  $\mathbf{Q}$  определяется нелокальной динамической диэлектрической восприимчивостью [18]

$$\chi^{\alpha\beta}(\mathbf{Q}, \mathbf{Q}', \tilde{\epsilon}) = \frac{1}{N} \sum_{\lambda,\lambda'} \langle \chi_{\lambda,\lambda'}^{\alpha\beta}(\tilde{\epsilon}) \rangle_c e^{i(\mathbf{Q}\lambda - \mathbf{Q}'\lambda')},$$

где  $\mathbf{Q}'$  — волновой вектор поляризации среды;  $\epsilon$  — энергия фотона ( $\tilde{\epsilon} = \hbar\tilde{\omega}$ ,  $\hbar$  — постоянная Планка); символ  $\langle \dots \rangle_c$  означает усреднение по всем возможным конфигурациям распределения случайных значений величин квазилокальных оптических диполей в кристалле;

$$\chi_{\lambda,\lambda'}^{\alpha\beta}(\tilde{\epsilon}) = -\frac{1}{v_a} \langle\langle \hat{D}_{\lambda}^{\alpha} | \hat{D}_{\lambda'}^{\beta} \rangle\rangle_{\tilde{\epsilon}}$$

— вклад в нелокальную динамическую диэлектрическую восприимчивость от электронных переходов  $i \rightarrow f$ , записанный в узельном представлении в рамках формализма Кубо теории линейного отклика [6,21–23];  $\langle\langle \dots | \dots \rangle\rangle_{\tilde{\epsilon}}$  — двухвременная запаздывающая функция Грина в энергетическом представлении [20–22];  $\hat{D}_{\lambda}^{\alpha}$  — оператор дипольного момента перехода  $i \rightarrow f$ ;  $v_a$  — объем кристалла, приходящийся на один узел.

В рассматриваемой геометрии (магнитное поле  $\mathbf{H}_0$ , средний спин  $\langle s \rangle$  квазилокальных электронов и волновой вектор  $\mathbf{Q}$  световой волны параллельны оси  $z$  кристалла) в изотропной среде отличными от нуля будут следующие компоненты тензора динамической диэлектрической восприимчивости:  $\chi^{xx} = \chi^{yy} = \chi^0 + \chi^{\parallel}$ ,  $\chi^{zz} = \chi^0$  и  $\chi^{xy} = -\chi^{yx} = i\chi^{\perp} = -ig$ . Здесь  $\chi^0$  — восприимчивость в отсутствие намагниченности;  $\chi^{\parallel}$  — вклад в диагональную восприимчивость, обусловленный намагниченностью электронной системы;  $i\chi^{\perp}$  — соответствующий «магнитный» вклад в недиагональную восприимчивость, отличающийся множителем  $i$  от  $\chi^{xy}$ ;  $g$  —  $z$ -компоненты вектора гирации, часто используемого при феноменологическом подходе к магнитооптике [5–7]. Величина  $\chi^{\perp}$  также часто используется вместо  $\chi^{xy} = -\chi^{yx}$  [25–27], поскольку имеет более привычный физический смысл вещественной и мнимой частей, описывающих поляризацию вещества и поглощение электромаг-

нитных волн соответственно. Связь с динамической диэлектрической проницаемостью  $\epsilon^{\alpha\beta}(\omega)$  имеет вид  $\epsilon^{\alpha\beta}(\omega) = \delta^{\alpha\beta} + 4\pi\chi^{\alpha\beta}$ , где  $\delta^{\alpha\beta}$  — символ Кронекера.

Недиагональный «магнитный» вклад в динамическую диэлектрическую восприимчивость определяется выражением

$$\chi^\perp(\mathbf{Q}, \mathbf{Q}', \tilde{\epsilon}) = -\frac{\chi^+(\mathbf{Q}, \mathbf{Q}', \tilde{\epsilon}) - \chi^-(\mathbf{Q}, \mathbf{Q}', \tilde{\epsilon})}{2}, \quad (5)$$

а связь с диагональными «магнитными» компонентами имеет вид

$$\begin{aligned} \chi^0(\mathbf{Q}, \mathbf{Q}', \tilde{\epsilon}) + \chi^||(\mathbf{Q}, \mathbf{Q}', \tilde{\epsilon}) = \\ = \frac{\chi^+(\mathbf{Q}, \mathbf{Q}', \tilde{\epsilon}) + \chi^-(\mathbf{Q}, \mathbf{Q}', \tilde{\epsilon})}{2}, \end{aligned} \quad (6)$$

где  $\chi^+(\mathbf{Q}, \mathbf{Q}', \tilde{\epsilon})$  и  $\chi^-(\mathbf{Q}, \mathbf{Q}', \tilde{\epsilon})$  — восприимчивости для право- и левополяризованных циркулярных полей соответственно.

Для системы квазилокальных оптических диполей с хаотической пространственной модуляцией циркулярные компоненты восприимчивости определяются формулой

$$\chi^\mp(\mathbf{Q}, \mathbf{Q}', \tilde{\epsilon}) = \frac{1}{N} \sum_{\lambda\lambda'} \langle \chi_{\lambda\lambda'}^\mp(\tilde{\epsilon}) \rangle_c e^{i(\mathbf{Q}\lambda - \mathbf{Q}'\lambda')}, \quad (7)$$

где

$$\begin{aligned} \chi_{\lambda\lambda'}^\mp(\tilde{\epsilon}) = & -\frac{1}{2v_a} \sum_{\sigma} \left\{ \langle D_{\lambda f i \mu}^\mp D_{\lambda' f i \mu}^\pm \rangle_c G_{f i \mu \sigma}^\pm(\lambda, \lambda', \tilde{\epsilon}) + \right. \\ & \left. + \langle D_{\lambda f i \mu}^\mp D_{\lambda' f i \mu}^\pm \rangle_c G_{f i \mu \sigma}^\pm(\lambda, \lambda', \tilde{\epsilon}) \right\}, \\ G_{f i \mu \sigma}^\pm(\lambda, \lambda', \tilde{\epsilon}) = & \langle\langle c_{\lambda, i, \mu, \sigma}^+ c_{\lambda, f, \mu \pm 1, \sigma}^- | c_{\lambda', f, \mu \pm 1, \sigma}^+ c_{\lambda', i, \mu, \sigma}^- \rangle\rangle_{\tilde{\epsilon}}, \\ G_{f i \mu \sigma}^\pm(\lambda, \lambda', \tilde{\epsilon}) = & \langle\langle c_{\lambda, f, \mu \mp 1, \sigma}^+ c_{\lambda, i, \mu, \sigma}^- | c_{\lambda', i, \mu, \sigma}^+ c_{\lambda', f, \mu \mp 1, \sigma}^- \rangle\rangle_{\tilde{\epsilon}}. \end{aligned}$$

Результат усреднения по конфигурациям может быть выражен через средние по кристаллу. Пренебрегая различием между  $\langle D_{\lambda f i \mu}^\mp D_{\lambda' f i \mu}^\pm \rangle_c$  и  $\langle D_{\lambda f i \mu}^\pm D_{\lambda' f i \mu}^\pm \rangle_c$ , опуская индекс  $\mu$  и ограничиваясь случаем статистически независимых узлов, получаем

$$\begin{aligned} \langle D_{\lambda f i \mu}^\mp D_{\lambda' f i \mu}^\pm \rangle_c = \langle D_{\lambda f i \mu}^\mp D_{\lambda' f i \mu}^\pm \rangle_c = D^2 + d^2 \delta_{\lambda, \lambda'}, \\ \delta_{\lambda, \lambda'} = \begin{cases} 1, & \lambda = \lambda' \\ 0, & \lambda \neq \lambda' \end{cases}. \end{aligned} \quad (8)$$

Подставляя (8) в (7) и переходя в фермионных операторах от координатного представления к пространству волновых векторов ( $\mathbf{k}$ -представлению), после выполнения суммирования по  $\lambda$  и  $\lambda'$  получаем две компоненты восприимчивости: когерентную  $\chi_{coh}$ , определяемую квадратом  $D^2$  среднего по кристаллу значения величины квазилокальных оптических диполей, и некогерентную  $\chi_{incoh}$ , определяемую средним по кристаллу значением квадрата  $d^2$  их флуктуаций:

$$\begin{aligned} \chi^\pm(\mathbf{Q}, \mathbf{Q}', \tilde{\epsilon}) = & \chi_{coh}^\pm(\mathbf{Q}, \mathbf{Q}', \tilde{\epsilon}) + \chi_{incoh}^\pm(\mathbf{Q}, \mathbf{Q}', \tilde{\epsilon}); \\ \chi_{coh}^\mp(\mathbf{Q}, \mathbf{Q}', \tilde{\epsilon}) = & -\frac{D^2}{v_a N} \sum_R \left[ G_{f i \mu \sigma}^\pm(\mathbf{k}, \mathbf{k}', \mathbf{k}_1, \mathbf{k}'_1, \tilde{\epsilon}) + \right. \\ & \left. + G_{i f \mu \sigma}^\pm(\mathbf{k}, \mathbf{k}', \mathbf{k}_1, \mathbf{k}'_1, \tilde{\epsilon}) \right] \delta_{\mathbf{k}', \mathbf{k} + \mathbf{Q}} \delta_{\mathbf{k}'_1, \mathbf{k}_1 + \mathbf{Q}'}; \\ \chi_{incoh}^\mp(\mathbf{Q}, \mathbf{Q}', \tilde{\epsilon}) = & -\frac{d^2}{v_a N^2} \sum_R \left[ G_{f i \mu \sigma}^\pm(\mathbf{k}, \mathbf{k}', \mathbf{k}_1, \mathbf{k}'_1, \tilde{\epsilon}) + \right. \\ & \left. + G_{i f \mu \sigma}^\pm(\mathbf{k}, \mathbf{k}', \mathbf{k}_1, \mathbf{k}'_1, \tilde{\epsilon}) \right] \delta_{\mathbf{k} + \mathbf{k}_1 + \mathbf{Q}} \delta_{\mathbf{k}' + \mathbf{k}'_1 + \mathbf{Q}'}, \end{aligned} \quad (9)$$

$$G_{f i \mu \sigma}^\pm(\mathbf{k}, \mathbf{k}', \mathbf{k}_1, \mathbf{k}'_1, \tilde{\epsilon}) = \langle\langle c_{\mathbf{k}, i, \mu, \sigma}^+ c_{\mathbf{k}', f, \mu \pm 1, \sigma}^- | c_{\mathbf{k}_1, f, \mu \pm 1, \sigma}^+ c_{\mathbf{k}'_1, i, \mu, \sigma}^- \rangle\rangle_{\tilde{\epsilon}},$$

$$G_{i f \mu \sigma}^\pm(\mathbf{k}, \mathbf{k}', \mathbf{k}_1, \mathbf{k}'_1, \tilde{\epsilon}) = \langle\langle c_{\mathbf{k}, f, \mu \mp 1, \sigma}^+ c_{\mathbf{k}', i, \mu, \sigma}^- | c_{\mathbf{k}_1, i, \mu, \sigma}^+ c_{\mathbf{k}'_1, f, \mu \mp 1, \sigma}^- \rangle\rangle_{\tilde{\epsilon}};$$

$$R = \{\mathbf{k}, \mathbf{k}', \mathbf{k}_1, \mathbf{k}'_1, \sigma\}.$$

## Вычисления

Выражение для восприимчивости следует из решения уравнений движения для функций Грина в формулах (9), имеющих вид

$$\langle\langle A | B \rangle\rangle_\omega = \frac{i}{2\pi} \langle [A, B] \rangle + \langle\langle [A, H] | B \rangle\rangle_\omega,$$

где  $[A, B]$  — коммутатор операторов  $A$  и  $B$ . Вычисление дает

$$\begin{aligned} G_{fi\mu\sigma}^\pm(\mathbf{k}, \mathbf{k}', \mathbf{k}_1, \mathbf{k}'_1, \tilde{\epsilon}) &= \frac{n_{\mathbf{k}, f, \mu, \sigma} - n_{\mathbf{k}', f, \mu \mp 1, \sigma}}{\tilde{\epsilon} - E_{fi, \mu \pm 1}(\mathbf{k}', \mathbf{k})} \delta_{\mathbf{k}, \mathbf{k}_1'} \delta_{\mathbf{k}', \mathbf{k}_1} = \\ &= G_{fi\mu\sigma}^\pm(\mathbf{k}, \mathbf{k}', \tilde{\epsilon}) \delta_{\mathbf{k}, \mathbf{k}_1'} \delta_{\mathbf{k}', \mathbf{k}_1}, \end{aligned} \quad (10)$$

$$\begin{aligned} G_{i\mu\sigma}^\pm(\mathbf{k}, \mathbf{k}', \mathbf{k}_1, \mathbf{k}'_1, \tilde{\epsilon}) &= \frac{n_{\mathbf{k}, f, \mu \mp 1, \sigma} - n_{\mathbf{k}', i, \mu, \sigma}}{\tilde{\epsilon} + E_{fi, \mu \mp 1}(\mathbf{k}', \mathbf{k})} \delta_{\mathbf{k}, \mathbf{k}_1'} \delta_{\mathbf{k}', \mathbf{k}_1} = \\ &= G_{i\mu\sigma}^\pm(\mathbf{k}, \mathbf{k}', \tilde{\epsilon}) \delta_{\mathbf{k}, \mathbf{k}_1'} \delta_{\mathbf{k}', \mathbf{k}_1}, \end{aligned} \quad (11)$$

$$E_{fi, \mu \pm 1, \sigma}(\mathbf{k}', \mathbf{k}) = E_{f, \mu \pm 1, \sigma}(\mathbf{k}') - E_{i, \mu, \sigma}(\mathbf{k}). \quad (12)$$

Подставив (10)–(12) в (9), получаем

$$\begin{aligned} \chi_{coh}^\mp(\mathbf{Q}, \mathbf{Q}', \tilde{\epsilon}) &= -\frac{D^2}{v_a N} \times \\ &\times \sum_{\mathbf{k}\sigma} \left\{ G_{fi\mu\sigma}^\pm(\mathbf{k}, \mathbf{k}+\mathbf{Q}, \tilde{\epsilon}) + G_{i\mu\sigma}^\pm(\mathbf{k}, \mathbf{k}+\mathbf{Q}, \tilde{\epsilon}) \right\} \delta_{\mathbf{Q}, \mathbf{Q}'}, \end{aligned} \quad (13)$$

$$\begin{aligned} \chi_{incoh}^\mp(\mathbf{Q}, \mathbf{Q}', \tilde{\epsilon}) &= -\frac{d^2}{v_a N^2} \times \\ &\times \sum_{\mathbf{k}\mathbf{k}'\sigma} \left\{ G_{fi\mu\sigma}^\pm(\mathbf{k}, \mathbf{k}', \tilde{\epsilon}) + G_{i\mu\sigma}^\pm(\mathbf{k}, \mathbf{k}', \tilde{\epsilon}) \right\} \delta_{\mathbf{Q}, \mathbf{Q}'}. \end{aligned} \quad (14)$$

## Результаты

Используя (5)–(7), (13) и (14) и принимая во внимание, что связь  $\chi_{coh}(\mathbf{Q}, \mathbf{Q}'; \tilde{\epsilon})$  и  $\chi_{incoh}(\mathbf{Q}, \mathbf{Q}'; \tilde{\epsilon})$  с волновыми векторами электромагнитной волны  $\mathbf{Q}$  и поляризации системы  $\mathbf{Q}'$  может быть представлена в виде

$$\chi_{coh}(\mathbf{Q}, \mathbf{Q}'; \tilde{\epsilon}) = \chi_{coh}(\mathbf{Q}; \tilde{\epsilon}) \delta_{\mathbf{Q}, \mathbf{Q}'}$$

и

$$\chi_{incoh}(\mathbf{Q}, \mathbf{Q}'; \tilde{\epsilon}) = \chi_{incoh}(\tilde{\epsilon}) \delta_{\mathbf{Q}, \mathbf{Q}'}$$

соответственно, для однородного внешнего поля ( $\mathbf{Q} = 0$ , т.е. для случая, когда длина волны света существенно превышает характерные длины пространственной модуляции системы квазилокальных оптических диполей) в пределе  $\gamma \rightarrow 0$  получаем следующие выражения для динамических

диэлектрических восприимчивостей  $\chi(\epsilon) = \chi_1(\epsilon) + i\chi_2(\epsilon)$ :

$$\begin{aligned} \chi_{1coh}^{xy}(0; \epsilon) &= \frac{\pi D^2}{v_a} \left[ N_{fi}(\epsilon + \Delta_M) - N_{fi}(\epsilon - \Delta_M) \right], \\ \chi_{2coh}^{xy}(0; \epsilon) &= \frac{4\epsilon\Delta_M D^2}{v_a N} \times \end{aligned} \quad (15)$$

$$\times \sum_{\mathbf{k}} \frac{n_{\mathbf{k}, i} E_{fi}(\mathbf{k})}{\{\epsilon^2 - [E_{fi}(\mathbf{k}) + \Delta_M]^2\} \{\epsilon^2 - [E_{fi}(\mathbf{k}) - \Delta_M]^2\}},$$

$$\begin{aligned} \chi_{1incoh}^{xy}(\epsilon) &= \frac{\pi d^2}{v_a} \left[ \tilde{N}_{fi}(\epsilon + \Delta_M) - \tilde{N}_{fi}(\epsilon - \Delta_M) \right], \\ \chi_{2incoh}^{xy}(\epsilon) &= \frac{4\epsilon\Delta_M d^2}{v_a N^2} \times \end{aligned} \quad (16)$$

$$\times \sum_{\mathbf{k}\mathbf{k}'} \frac{n_{\mathbf{k}, i} E_{fi}(\mathbf{k}, \mathbf{k}')}{\{\epsilon^2 - [E_{fi}(\mathbf{k}, \mathbf{k}') + \Delta_M]^2\} \{\epsilon^2 - [E_{fi}(\mathbf{k}, \mathbf{k}') - \Delta_M]^2\}},$$

$$\begin{aligned} \chi_{1coh}^0(0; \epsilon) + \chi_{1coh}^{\parallel}(0; \epsilon) &= -\frac{2D^2}{v_a N} \times \\ &\times \sum_{\mathbf{k}} \frac{n_{\mathbf{k}, i} E_{fi}(\mathbf{k}) [\epsilon^2 - E_{fi}^2(\mathbf{k}) + \Delta_M^2]}{\{\epsilon^2 - [E_{fi}(\mathbf{k}) + \Delta_M]^2\} \{\epsilon^2 - [E_{fi}(\mathbf{k}) - \Delta_M]^2\}}, \end{aligned} \quad (17)$$

$$\chi_{2coh}^0(0; \epsilon) + \chi_{2coh}^{\parallel}(0; \epsilon) =$$

$$= \frac{\pi D^2}{v_a} [N_{fi}(\epsilon + \Delta_M) + N_{fi}(\epsilon - \Delta_M)],$$

$$\chi_{1incoh}^0(\epsilon) + \chi_{1incoh}^{\parallel}(\epsilon) = -\frac{2d^2}{v_a N^2} \times$$

$$\begin{aligned} &\times \sum_{\mathbf{k}\mathbf{k}'} \frac{n_{\mathbf{k}, i} E_{fi}(\mathbf{k}, \mathbf{k}') [\epsilon^2 - E_{fi}^2(\mathbf{k}, \mathbf{k}') + \Delta_M^2]}{\{\epsilon^2 - [E_{fi}(\mathbf{k}, \mathbf{k}') + \Delta_M]^2\} \{\epsilon^2 - [E_{fi}(\mathbf{k}, \mathbf{k}') - \Delta_M]^2\}}, \end{aligned} \quad (18)$$

$$\chi_{2incoh}^0(\epsilon) + \chi_{2incoh}^{\parallel}(\epsilon) =$$

$$= \frac{\pi d^2}{v_a} [\tilde{N}_{fi}(\epsilon + \Delta_M) + \tilde{N}_{fi}(\epsilon - \Delta_M)].$$

В выражениях (15)–(18) использованы следующие обозначения:

$$E_{fi}(\mathbf{k}, \mathbf{k}') = E_f - E_i + T_f(\mathbf{k}') - T_i(\mathbf{k}) + \zeta\mu/2 ,$$

$$E_{fi}(\mathbf{k}) = E_{fi}(\mathbf{k}, \mathbf{k}) ,$$

$$N_{fi}(\epsilon) = \frac{1}{2N} \sum_{\mathbf{k}} n_{\mathbf{k},i} \delta[\epsilon - E_{fi}(\mathbf{k})] ,$$

$$\tilde{N}_{fi}(\epsilon) = \frac{1}{2N^2} \sum_{\mathbf{k}, \mathbf{k}'} n_{\mathbf{k},i} \delta[\epsilon - E_{fi}(\mathbf{k}', \mathbf{k})] ;$$

здесь и далее индексы  $\mu$  и  $\sigma$  опущены. Учтено, что в используемой модели системы, описываемая «невозмущенным» гамильтонианом  $\mathcal{H}$ , является однородно намагниченной, нижняя зона  $i$  заполнена частично ( $n_{\mathbf{k},i} \equiv n_{\mathbf{k},i,\mu,\sigma} \neq 0$ ,  $n_{\mathbf{k},i,-\mu,-\sigma} = 0$ ,  $\sigma = 1/2$ ), а верхняя  $f$  полностью свободна ( $n_{\mathbf{k}',f,\mu\pm 1,\sigma} = 0$ ).

Разлагая выражения (15)–(18) в ряд вдали от резонанса ( $|\epsilon - E_{fi}| \gg \Delta_M$ ), получаем в главном приближении по  $\Delta_M$ :

$$\chi^{xy}(0; \epsilon) = \chi_2^{xy}(0; \epsilon) ,$$

$$\chi_{2coh}^{xy}(0; \epsilon) = \frac{4D^2\epsilon\Delta_M}{v_a N} \sum_{\mathbf{k}} \frac{n_{i,\mathbf{k}} E_{fi}(\mathbf{k})}{[\epsilon^2 - E_{fi}^2(\mathbf{k})]^2} , \quad (19)$$

$$\chi_{2incoh}^{xy}(0; \epsilon) = \frac{4d^2\epsilon\Delta_M}{v_a N^2} \sum_{\mathbf{k}, \mathbf{k}'} \frac{n_{i,\mathbf{k}} E_{fi}(\mathbf{k}, \mathbf{k}')}{[\epsilon^2 - E_{fi}^2(\mathbf{k}, \mathbf{k}')]^2} .$$

$$\chi^0(0; \epsilon) + \chi^{\parallel}(0; \epsilon) = \chi_1^0(0; \epsilon) + \chi_1^{\parallel}(0; \epsilon) ,$$

$$\chi_{1coh}^0(0; \epsilon) + \chi_{1coh}^{\parallel}(0; \epsilon) =$$

$$= \frac{2D^2}{v_a N} \sum_{\mathbf{k}} \frac{n_{i,\mathbf{k}} E_{fi}(\mathbf{k})}{E_{fi}^2(\mathbf{k}) - \epsilon^2} \left\{ 1 + \frac{\Delta_M^2 [E_{fi}^2(\mathbf{k}) + 3\epsilon^2]}{[E_{fi}^2(\mathbf{k}) - \epsilon^2]^2} \right\} , \quad (20)$$

$$\chi_{1incoh}^0(0; \epsilon) + \chi_{1incoh}^{\parallel}(0; \epsilon) =$$

$$= \frac{2d^2}{v_a N^2} \sum_{\mathbf{k}, \mathbf{k}'} \frac{n_{i,\mathbf{k}} E_{fi}(\mathbf{k}, \mathbf{k}')}{E_{fi}^2(\mathbf{k}, \mathbf{k}') - \epsilon^2} \left\{ 1 + \frac{\Delta_M^2 [E_{fi}^2(\mathbf{k}, \mathbf{k}') + 3\epsilon^2]}{[E_{fi}^2(\mathbf{k}, \mathbf{k}') - \epsilon^2]^2} \right\} .$$

В статическом пределе ( $\epsilon = 0$ ) формулы (19), (20) принимают вид

$$\chi^{xy}(0; 0) = 0 ;$$

$$\chi^0(0; 0) + \chi^{\parallel}(0; 0) = \chi_1^0(0; 0) + \chi_1^{\parallel}(0; 0) ,$$

$$\chi_{coh}^0(0; 0) + \chi_{coh}^{\parallel}(0; 0) = \frac{2D^2}{v_a N} \sum_{\mathbf{k}} \frac{n_{i,\mathbf{k}}}{E_{fi}(\mathbf{k})} \left\{ 1 + \frac{\Delta_M^2}{E_{fi}^2(\mathbf{k})} \right\} , \quad (21)$$

$$\chi_{incoh}^0(0; 0) + \chi_{incoh}^{\parallel}(0; 0) =$$

$$= \frac{2d^2}{v_a N^2} \sum_{\mathbf{k}, \mathbf{k}'} \frac{n_{i,\mathbf{k}}}{E_{fi}(\mathbf{k}, \mathbf{k}')} \left\{ 1 + \frac{\Delta_M^2}{E_{fi}^2(\mathbf{k}, \mathbf{k}')} \right\} .$$

Из сравнения выражений (19) и (20) видно, что недиагональная восприимчивость  $\chi^{xy}$ , в отличие от диагональной  $\chi^0 + \chi^{\parallel}$ , при переходе через область резонансов не меняет знак.

Для переходов в системе локализованных электронов ( $T(\mathbf{k}) = 0$ ) спектры  $\chi_{coh}$  и  $\chi_{incoh}$  становятся подобными, и вместо формул (19) и (21) имеем

$$\chi^{xy}(0; \epsilon) = \frac{4\langle |D_{\lambda}|^2 \rangle \epsilon \Delta_M Z E_{fi}}{v_a (E_{fi}^2 - \epsilon^2)^2} , \quad (22)$$

$$\chi^0(0; 0) + \chi^{\parallel}(0; 0) = \frac{2\langle |D_{\lambda}|^2 \rangle Z}{v_a E_{fi}} \left\{ 1 + \frac{\Delta_M^2}{E_{fi}^2} \right\} , \quad (23)$$

где  $\langle |D_{\lambda}|^2 \rangle = D^2 + d^2$  — средний квадрат модуля дипольного момента на узле  $\lambda$ ;  $Z$  — число «магнитооптических» электронов на атом (в данном случае это число электронов на уровне  $i$ ).

Зависимости вещественных частей  $\chi_{1coh}^{xy}$  и  $\chi_{1incoh}^{xy}$  от энергии фотона представлены на рис. 2.

## Обсуждение

Выражения (15), (16) дают полное качественное описание магнитного вклада в динамическую диэлектрическую восприимчивость системы квазилокальных оптических диполей. По сравнению с ситуацией в совершенных кристаллах в данном случае спектр  $\chi^{\alpha\beta}(\omega)$  распадается на две компоненты — когерентную  $\chi_{coh}^{\alpha\beta}$  и некогерентную  $\chi_{incoh}^{\alpha\beta}$  [2,3]. Первая формируется прямыми (или вертикальными) электронными переходами, т.е. переходами с сохранением квазимпульса электрона, вторая — непрямыми (невертикальными), т.е. переходами с произвольными изменениями электронных квазимпульсов. Интенсивность когерентной компоненты пропорциональна квадрату среднего по кристаллу значения электро-

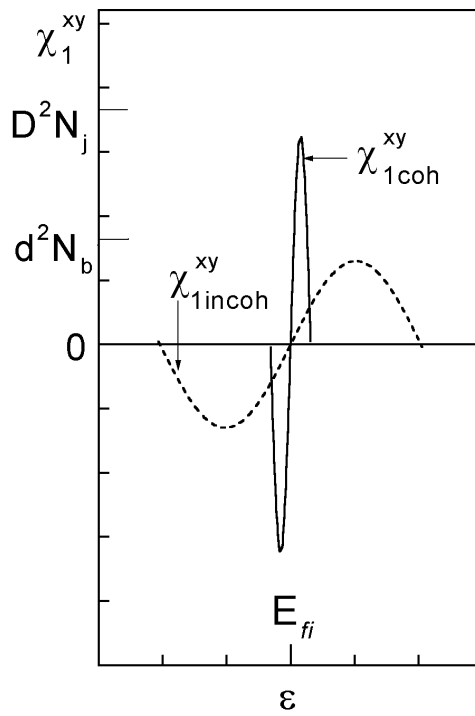


Рис. 2. Схематический вид рассчитанного спектра  $\chi_1^{xy}(\epsilon)$  вещественной части немагнитной диэлектрической восприимчивости хаотизированного  $f-d$ -магнетика:  $E_{fi}$  — энергия электронного  $i \rightarrow f$ -перехода;  $D = \langle D_\lambda \rangle$  — средний дипольный момент этого перехода;  $d = \langle d_\lambda^{2,1} \rangle^{1/2}$  — пространственная флуктуация момента  $D_\lambda$ ; параметры  $N_b$  и  $N_j$  пропорциональны произведению максимальных значений электронных плотностей состояний в зонах  $i$  и  $f$  и их межзонной плотности состояний соответственно; масштаб по горизонтали — в единицах  $T_i$ .

дипольного момента оптического перехода, интенсивность некогерентной — среднему квадрату флуктуации электродипольного момента.

Вдали от резонансных частот  $E_{fi,\mu\pm 1}$  дисперсная часть (поляризуемость)  $\chi_2^{xy}(\omega)$  немагнитной линейна в главном порядке по магнитному полю  $H_0$  и константе спин-орбитального взаимодействия  $\zeta$ , диагональные же магнитные вклады  $\chi_1^{\parallel}(\omega)$  квадратичны по эффективному полю  $\Delta_M = \zeta/2 - \mu_B H_0$ . Структура формулы (22) аналогична структуре формулы Нагаева [6], формула (23) дает магнитный вклад в статическую диэлектрическую восприимчивость.

Базовыми функциями гамильтониана настоящей модели являются собственные функции оператора  $z$ -проекции орбитального момента, коммутирующего с гамильтонианом орбитального движения системы электронов в магнитном поле [21]. Такая модель содержит две резонансные частоты  $E_{fi,\mu\pm 1}$  в отличие от моделей с гамильтонианом, основанным на собственных функциях кристаллического поля (см., например,

[6]). В последнем случае энергетический спектр в первом приближении по  $\zeta$  (и  $H_0$ ) содержит только одну резонансную частоту  $E_{fi}$  [28], но вдали от резонансной области обе модели дают совпадающие результаты. Выбор между обеими моделями (или их модификациями) при описании магнитооптических спектров в непосредственной близости от резонансов определяется величиной отношения  $\Delta_M$  к соответствующему параметру кристаллического поля исследуемой системы.

Как можно видеть из (17), (18), спектр  $\chi^0(\epsilon) + \chi^{\parallel}(\epsilon)$  отличается от диагональной диэлектрической восприимчивости немагнитного происхождения (см., например, [1]). Поглощательная часть  $\chi_2^0(\epsilon) + \chi_2^{\parallel}(\epsilon)$  содержит два равноотстоящих от  $E_{fi}$  пика, которые, впрочем, имеют такую же форму, как и «немагнитный» пик поглощения. Дисперсная часть  $\chi_1^0(\epsilon) + \chi_1^{\parallel}(\epsilon)$  также представляет собой две раздвинутые относительно  $E_{fi}$  характерные «осцилляции», аналогичные вкладам в обычную «немагнитную» динамическую диэлектрическую восприимчивость.

Магнитооптический эффект возникает при взаимодействии света с каждым атомом в отдельности даже при отсутствии внешнего магнитного поля как результат спин-орбитального взаимодействия, но в случае, если средний по кристаллу магнитный момент равен нулю, макроскопический эффект отсутствует. Для вычисления диэлектрической восприимчивости системы в отсутствие макроскопической намагниченности необходимо включить в схему расчета (например, в модели псевдосплава) равное количество узлов с электронными переходами

$$|\lambda, i, \mu, \sigma\rangle \rightarrow |\lambda, f, \mu\pm 1, \sigma\rangle$$

и

$$|\lambda, i, -\mu, -\sigma\rangle \rightarrow |\lambda, f, -\mu\mp 1, -\sigma\rangle.$$

При этом спектры  $\chi^+(\epsilon)$  и  $\chi^-(\epsilon)$  содержат по две резонансные частоты и полностью совпадают. В результате  $\chi^{xy}(\epsilon) = 0$ , а  $\chi^{\parallel}(\epsilon) \neq 0$ , так что соотношение (23) может объяснить экспериментально обнаруженную квадратичную по магнитному моменту иона добавку к статической электронной поляризуемости оксидов железа [29,30] и редкоземельных элементов [31].

Авторы признательны В. В. Еременко и Н. Ф. Харченко за интерес и поддержку работы, А. А. Логинову за конструктивное обсуждение.

Работа была частично поддержана грантами Международного научного фонда и Правительства Украины (ISF#U9L000 и ISF/UA#U9L200), а

также Лейденской лабораторией им. Камерлинг — Оннеса и Голландской организацией научных исследований.

1. Дж. Займан, *Принципы теории твердого тела*, Мир, Москва (1974); J. M. Ziman, *Principles of the Theory of Solids*, University Press, Cambridge (1972).
2. А. Б. Безносов, В. П. Гнездилов, В. В. Еременко, *Письма в ЖЭТФ* **38**, 486 (1983); *ФНТ* **10**, 954 (1984).
3. А. В. Безносов, В. В. Еременко, and V. P. Gnezdilov, *J. Magn. Magn. Mater.* **43**, 243 (1984); **54–57**, 1251 (1986).
4. А. Б. Безносов, В. П. Гнездилов, В. В. Еременко, *Письма в ЖТФ* **10**, 14906 (1984); *ЖТФ* **55**, 1866 (1985).
5. Л. Д. Ландау, Е. М. Лифшиц, *Электродинамика сплошных сред*, Изд-во физ.-мат. лит., Москва (1959).
6. Э. Л. Нагаев, *Физика магнитных полупроводников*, Наука, Москва (1979); E. L. Nagaev, *Physics of Magnetic Semiconductors*, Mir, Moscow (1983).
7. А. В. Соколов, *Оптические свойства металлов*, Изд-во физ.-мат. лит., Москва (1961).
8. B. R. Cooper, *Phys. Rev. A* **139**, 1505 (1965).
9. J. L. Erskine and E. A. Stern, *Phys. Rev. B* **8**, 1239 (1973).
10. H. Ebert, *Rep. Prog. Phys.* **59**, 1665 (1996).
11. V. N. Antonov, A. N. Yaresko, A. Ya. Perlov, V. V. Nemoshkalenko, P. M. Oppeneer, and H. Eschrig, *ФНТ* **25**, 527 (1999).
12. Н. Мотт, Э. Дэвис, *Электронные процессы в некристаллических веществах*, Мир, Москва (1982); M. F. Mott and E. A. Davis, *Electron Processes in Non-Crystalline Materials*, Clarendon Press, Oxford (1979).
13. Э. Л. Нагаев, *УФН* **166**, 833 (1996).
14. В. М. Локтев, Ю. Г. Погорелов, *ФНТ* **26**, 231 (2000).
15. E. S. Orel and A. B. Beznosov, in kn.: *Физические явления в твердых телах*, В. В. Ульянов (ред.), ХГУ, Харьков: ХГУ (1995), с. 41.
16. Э. С. Орел, А. Б. Безносов, *УФЖ* **40**, 579 (1995).
17. А. А. Соколов, И. М. Тернов, В. Ч. Жуковский, *Квантовая механика*, Наука, Москва (1979).
18. Р. Уайт, *Квантовая теория магнетизма*, Мир, Москва (1985).
19. H. Jones, *Phys. Rev.* **134**, 958 (1964).
20. Г. Эренрейх, Л. Шварц, *Электронная структура сплавов*, Мир, Москва (1979); H. Ehrenreich and L. Schwartz, *The Electronic Structure of Alloys, Solid State Physics*, 31 (1976).
21. А. С. Давыдов, *Теория твердого тела*, Наука, Москва (1976).
22. Д. Н. Зубарев, *Неравновесная статистическая термодинамика*, Наука, Москва (1971).
23. K. Elk and W. Gasser, *Die Methode der Greenschen Funktionen in der Festkörperphysik*, Akademie-Verlag, Berlin (1979).
24. Е. В. Кузьмин, Г. А. Петраковский, Э. А. Завадский, *Физика магнитоупорядоченных веществ*, Наука, Новосибирск (1976).
25. P. N. Argyres, *Phys. Rev.* **97**, 334 (1955).
26. Г. С. Кринчик, В. А. Артемьев, *ЖЭТФ* **53**, 1901 (1967).
27. А. В. Малаховский, *Избранные вопросы оптики и магнитоптики соединений переходных элементов*, Наука, Новосибирск (1992).
28. С. В. Вонсовский, *Магнетизм*, Наука, Москва (1971).
29. А. В. Безносов, V. V. Еременко, and A. I. Galuza, *Abstracts of the Intern. Conf. on Magnetism*, 1Pe13, San Francisco (1985).
30. А. В. Безносов, A. I. Galuza, V. V. Еременко, *Fiz. Nizk. Temp.* **18**, S1-183 (1992).
31. А. Б. Безносов, А. И. Галуза, *Тез. докл. XIV Всерос. конф. по физике сегнетоэлектриков*, Иваново, Ив. гос. ун-т (1995), с. 310.

### The dynamic dielectric susceptibility tensor of a randomized *f-d*-magnet

A. B. Beznosov and E. S. Orel

The magnetic contribution to the dynamic dielectric susceptibility tensor  $\chi^{\alpha\beta}(\omega) = \chi_1^{\alpha\beta}(\omega) + i\chi_2^{\alpha\beta}(\omega)$  of a system of random quasi-local optical dipoles in an isotropic magnetic conductor is calculated by the two-time retarded Green function technique. The spectrum obtained consists of *coherent*  $\chi_{coh}^{\alpha\beta}$  and *incoherent*  $\chi_{incoh}^{\alpha\beta}$  components, formed by the electron excitations with zero and arbitrary quasi-momentum, respectively. Far from the resonance frequencies (where  $\chi$  is represented by the dispersive part only) the off-diagonal components  $\chi_2^{\alpha\neq\beta}(\omega)$  are linear in the effective field  $\Delta_M = \zeta/2 - \mu_B H_0$  ( $\zeta$  is the spin-orbit coupling constant,  $\mu_B$  is the Bohr magneton, and  $H$  is a magnetic field) in the main order, while the field-dependent contribution to the diagonal components  $\chi_1^{\alpha\alpha}(\omega)$  is quadratic in  $\Delta_M$ .